

肿块诊断价值的 Meta 分析[J]. 临床超声医学杂志, 2017, 19(3): 164-169.

[6] Moon HJ, Kim MJ, Kwak JY, et al. Probably benign breast lesions on ultrasonography: a retrospective review of ultrasonographic features and clinical factors affecting the BI-RADS categorization [J]. Acta Radiol, 2010, 51(4): 375-382.

[7] Stavros AT, Freitas AG, DeMello G, et al. Ultrasound positive predictive values by BI-RADS categories 3-5 for solid masses: an independent reader study [J]. Eur Radiol, 2017, 27 (10): 4307-4315.

[8] 李伟伟, 丛阳, 刘琳, 等. 超声对乳腺导管原位癌中钙化的初步研究[J]. 中国超声医学杂志, 2018, 34(6): 495-497.

[9] 罗佳, 黄光亮, 郑艳玲, 等. 乳腺硬化性腺病的超声造影表现[J]. 临床超声医学杂志, 2016, 18(11): 791-792.

[10] Ackermann S, Schoenenberger CA, Zanetti-Dallenbach R. Clinical data as an adjunct to ultrasound reduces the false-negative malignancy rate in BI-RADS 3 breast lesions [J]. Ultrasound Int Open, 2016, 2(3): 83-89.

(收稿日期: 2019-04-10)

· 病例报道 ·

Ultrasonic diagnosis of pediatric ectopic cervical thymus gland: two cases report 超声诊断儿童颈部异位胸腺 2 例

何欢 刘百灵

[中图法分类号] R445.1

[文献标识码] B

病例 1, 患儿男, 7 岁, 因颈部不适行颈椎 CT 检查, 提示甲状腺左叶局部密度减低。超声检查: 甲状腺左叶内见一边界清晰, 包膜完整的实性中等回声包块, 包块大小 18.7 mm×6.1 mm, 内部见线条状稍高回声, 分布较均匀(图 1)。该包块与周围组织界限清晰, 且于甲状腺下方, 胸骨后方可探及与之回声相同的正常胸腺组织(图 2)。超声图像结合患儿甲状腺功能检查结果(血清总三碘甲状腺原氨酸 1.53 ng/ml, 血清总甲状腺素 9.08 ng/ml, 促甲状腺激素 2.56 ng/ml, 游离三碘甲状腺原氨酸 4.35 ng/ml, 游离甲状腺素 0.97 ng/ml), 考虑异位胸腺。

病例 2, 患儿男, 4 岁, 因右侧颌下触及无痛性包块就诊。超声检查: 右侧颌下探及一大约 44.0 mm×20.0 mm 腺体样回声(图 3), 边界清, 外形规则, 内部回声分布均匀; CDFI 于其内可探及点状血流信号(图 4)。扫查胸骨后可探及与之回声相同的胸腺组织, 考虑异位胸腺。患儿甲状腺功能检查结果示血清总三碘甲状腺原氨酸 1.44 ng/ml, 血清总甲状腺素 9.56 ng/ml, 促甲状腺激素 3.83 ng/ml, 游离三碘甲状腺原氨酸 4.23 ng/ml, 游离甲状腺素 1.05 ng/ml。

讨论: 异位胸腺是由于胚胎发育时期胸腺从咽部至纵隔下降过程中, 未完全下降至正常位置而形成。常异位在颈部, 以

左侧男性患儿多见^[1]。本组 2 例均为男性患儿, 1 例异位部位在颈部, 另 1 例在右侧颌下。异位胸腺患儿多无临床症状, 因此易漏误诊, 易被误诊为甲状腺结节或颈部恶性肿块^[1]。异位胸腺的诊断要点: ①儿童颈前包块应考虑是否有腺体异位可能, 异位胸腺边缘多较清晰, 包膜完整; ②若包块与甲状腺关系密切, 应判别是在甲状腺内还是甲状腺外, 是否侵犯周围组织, 以与恶性肿瘤鉴别; ③观察包块回声是否与胸骨后方胸腺回声相同; ④结合其他临床指标进行随访观察, 异位胸腺的大小随时间多无明显变化。本组 2 例均因与胸骨后方胸腺组织回声相同而诊断, 若无此表现可暂时观察, 结合临床症状及其他指标必要时进行穿刺活检。当包块在甲状腺内且可见大量点状强回声时, 需谨慎诊断, 应与甲状腺恶性肿瘤鉴别。综上所述, 超声诊断儿童颈前无症状包块, 特别是与周围组织界限清晰, 且与胸腺回声相同时, 应考虑异位胸腺的可能。

参考文献

[1] Bang MH, Shin J, Lee KS, et al. Intrathyroidal ectopic thymus in children: a benign lesion [J]. Medicine (Baltimore), 2018, 97(14): e0282.

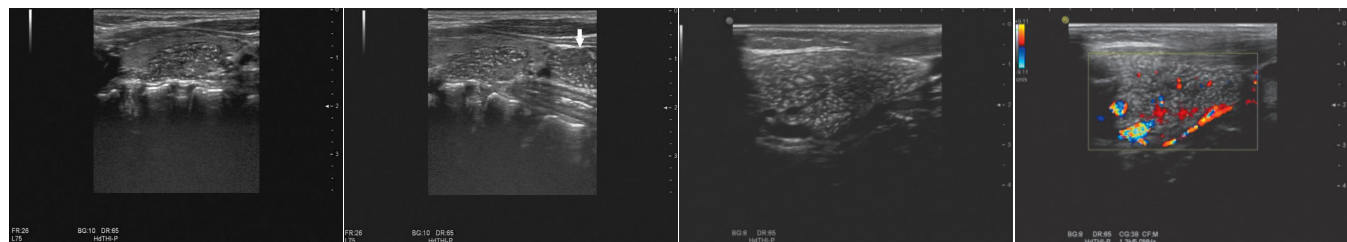


图 1 甲状腺左叶内见一边界清晰, 图 2 胸骨后方可探及与之回声相 图 3 声像图示右侧颌下探及腺体 图 4 CDFI 示包块内可探及点状血
包膜完整的实性中等回声包块, 内部 同的正常胸腺组织(箭头示) 样回声 流信号
多发线条状稍高回声, 分布较均匀

(收稿日期: 2019-04-11)